

Bemerkung 4.8 1) Also kann man im Fall  $\sigma = \sigma_1 \cup \sigma_2$  ,  
 $T|_{X_1}$  und  $T|_{X_2}$  getrennt untersuchen, was oft *abg., diff.*  
 einfacher ist.

2) (Invariantes Teilraumproblem)  
 Eins der berühmtesten offenen Probleme der Funktio-  
 nalanalysis: *oo-dim.*  
Frage  $\exists T \in \mathcal{L}(H)$ ,  $H$  Hilbert, ohne nicht-triviale  
 abg. lin. invariante Teilräume?  $\neq 0, \neq H$   
 Offen seit  $> 60$  Jahren.

Enflo '76: Gegenbsp auf einem BR  
Plan:  $P_{\sigma}(T) \neq 0 \Rightarrow \exists$  inv. TR  $(Y = C \cdot X_0$  eigenvektor)

Wir wissen jetzt:  $\exists$  Spektralzerlegung  $\sigma = \sigma_1 \cup \sigma_2$   
 $\Rightarrow \exists$  inv. TR's  $(X_1, X_2)$ .

Eine Anwendung des Funktionalcalculus: das "T=I" Theorem

Frage: Wann impliziert  $\sigma(T) = \{1\}$ , dass  $T=I$  gilt?



Bem: Nicht immer:  $T = \begin{pmatrix} 1 & 1 \\ 0 & 1 \end{pmatrix}$   
Idee Für Matrizen: Jordansche Normalform.  
Man kann nachrechnen  $\mathbb{N}$ :

$$\begin{pmatrix} 1 & & & 0 \\ & \ddots & & \\ & & 1 & \\ 0 & & & 1 \end{pmatrix}_n = \begin{pmatrix} 1 & & & \\ & \ddots & & \\ & & 1 & \\ & & & 1 \end{pmatrix}_n$$

*etwas*

d.h.)  $T=I \Leftrightarrow$  kein Jordanblock hat Größe  $\geq 2$

$$\Leftrightarrow \sup_{n \geq 1} \|T^n\| < \infty.$$

Die Antwort für  $\infty$ -dim. BR'p ist:

Stm. 4.9 (Beland,  $T=I$  Theorem)

für  $X$  BR,  $T \in \mathcal{L}(X)$  mit  $\sigma(T) = \{1\}$ . Dann gilt

$$\sup_{n \in \mathbb{Z}} \|T^n\| < \infty \Rightarrow T=I.$$

Bem. 1)  $\exists T^{-n}$ , da  $0 \in \rho(T)$

2) " $\Leftarrow$ " gilt immer

3)  $\sup_{n \in \mathbb{N}} \|T^n\| < \infty$  reicht i.A. nicht, Bsp:  $T \neq V$   
(ohne Beweis)

~~Vektor~~

Beweis Der Hauptanteil des Logarithmus ist  
Problem. in  $M_1(1)$ , also def.

$$S_i = -i \cdot \log T$$

Wir haben:

- $T = e^{iS}$  (Kettenregel)

- $\sigma(S) = \{0\}$  (Spektralabbildungssatz:  
 $\log 1 = 0$ )



Wir zeigen:  $S = 0$  (kann gilt  $T = e^{i0} = I$ )

z.B. Reihendarst.

Dafür zeigen wir:  $\|nS\|$  ist beschr. in  $n$ .  
Sei  $n \in \mathbb{N}$  und betrachte den komplexen Sinus

$$\sin z := \frac{e^{iz} - e^{-iz}}{2i} \quad \text{— holom. auf } \mathbb{C}.$$

Betrachte

$$\begin{aligned} \sin(ns) &= \frac{1}{2i} (e^{ins} - e^{-ins}) \\ &= \frac{1}{2i} (T^n - T^{-n}) \end{aligned}$$

Nach Vorw., gilt:

$$\|[\sin(ns)]^k\| = \left\| \left[ \frac{T^n - T^{-n}}{2i} \right]^k \right\|$$

$$= \frac{\|T^k - (1)T^{k-1}T^{-n} + \dots + (-1)^{n-1}T^{-n}\|}{\leq M \cdot \frac{2^k (1 + \binom{k}{1} \cdot 1 + \dots + 1)}{2^n} = M \cdot \frac{2^k}{2^n} = M}$$

$M := \sup_{n \in \mathbb{Z}} \|T^n\|$

Erinnere: Der Hauptwert des Arcsin ist holom. in einer Umg. von 0

$$\begin{aligned} (\sin 0 = 0) &: \text{holom. in } \mathbb{R}^2 \\ (\cos 0 = 1 \neq 0) &: \text{holom. in } \mathbb{R}^2 \end{aligned}$$

Bei  $\arcsin z = \sum_{n=0}^{\infty} c_n z^n$  die Taylorentw. von  $\arcsin$

Ana I:  $\bullet c_n \geq 0$

$$\bullet \sum_{v=0}^{\infty} c_v = \operatorname{arcsinh} 1 = \pi/2$$

insgesamt haben wir:

$$\|nS\| \stackrel{\text{Vektorenregel}}{=} \|\operatorname{arcsinh}(\underbrace{\sin(nS)}_{\sigma(\dots) = 1})\|$$

$$= \sum_{v=0}^{\infty} c_v \cdot \underbrace{\|\sin(nS)\|}_{\leq M}$$

$$\leq M \cdot \sum_{v=0}^{\infty} c_v = M \cdot \pi/2 \quad \text{An!}$$

$\Rightarrow \|S\| = 0$ , also  $S = 0$  und  $T = I$



**Folgerung 4.10** Seien  $X$  BR,  $T \in \mathcal{L}(X)$  eine Isometrie mit  $\sigma(T) = \{1\}$ . Dann gilt  $T = I$ .

Beweis  $\|Tx\| = \|x\| \quad \forall x$ , also:  $\|T^n\| = 1 \quad \forall n \geq 1$ .

$T^{-1}$  auch eine Isom.  $\Rightarrow \|T^{-n}\| = 1 \quad \forall n \geq 1$ .  
+ Gelte.

Bem. 1) 1 kann durch  $e^{i\theta}$ ,  $\theta \in [0, 2\pi)$  ersetzt werden

(Betr.  $S := e^{-i\theta} T$ , dann  $\sigma(S) = \{1\}$  und  $\|S^n\|$  beschr.  $(\Leftrightarrow) \|T^n\|$  beschr.)



g) Wenn  $T$  a.B. Isometrie ist,  $\sigma = \sigma_1^{\text{äq.}}$   $\cup$   $\{e^{i\theta}\}$ ,  
abb.





Dann gilt nach Beland + Spektralzerlegung:  
 $X = X_1 \oplus X_2$ ,  $\sigma(T|_{X_1}) = \sigma_1$ ,  $T|_{X_2} = e^{i\theta} \cdot I$ .

### III Asymptotik von Operatoren

#### 1. Einleitung

Frage: Wie verhält sich  $T^n$ ,  $n \rightarrow \infty$ .

Bsp 1.1 (Matrizen)  
 $n_i \quad j := \begin{pmatrix} A & 0 \\ 0 & \lambda \end{pmatrix} \in \text{Mat}_d$

Es gilt:  $J = \lambda \cdot I + \underbrace{\begin{pmatrix} 0 & 1 & 0 \\ 0 & \ddots & 1 \\ 0 & \dots & 0 \end{pmatrix}}_{=: R}$

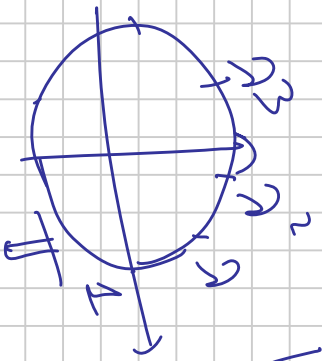
$R^2 = \begin{pmatrix} 0 & 1 & 0 \\ 0 & \ddots & 1 \\ 0 & \dots & 0 \end{pmatrix} \dots R^d = 0$

$$J^n = (\lambda I + R)^n = \lambda^n \cdot I + n \cdot \lambda^{n-1} \cdot R + \dots + \binom{n}{d-1} \lambda^{n-d+1} R^{d-1}$$

$$= \begin{pmatrix} \lambda^n & n \cdot \lambda^{n-1} & \dots & \dots & \dots \\ & \lambda^n & \dots & \dots & \dots \\ & & \ddots & \ddots & \ddots \\ & & & \lambda^n & \dots \\ & & & & \lambda^n \end{pmatrix}$$

Fall 1  $|\lambda| > 1 \Rightarrow \|J^n\| \rightarrow \infty$  exp. schnell

Fall 2  $|\lambda| < 1 \Rightarrow \|J^n\| \rightarrow 0$  exp. schnell



### Fall 3 Fall 4

$|n| = 1$ ,  $d \geq 2 \Rightarrow \|j^n\| \rightarrow \infty$  polynomuell schnell

$|n| = 1$ ,  $d = 1$ , d.h.,  $j^n = (\lambda^n)$  und  $\|j^n\| = 1$  (wie  $n^{d-1}$ )

- $j^n$  konv.  $\Leftrightarrow \lambda = 1$

- $j^n$  periodisch  $\Leftrightarrow \lambda$  rational (d.h.,  $\lambda = e^{2\pi i \theta}$ )

- $\lambda$  irrat.  $\Leftrightarrow \lambda^n$  dicht in  $\mathbb{T}$  (W?  $\theta \in \mathbb{Q}$ )

D.h.,  $j^n$  konv. gegen  $P \neq 0 \Leftrightarrow \lambda = 1$  und  $\|T^{-n}\|$

2) Sei  $T$  eine beliebige Matrix:  
 beschr. in  $n \times 1$ .  
 $\dim = 1$ .

$$T = S^{-1} \begin{pmatrix} \alpha_1 & & 0 \\ & \ddots & \\ 0 & & \alpha_m \end{pmatrix} S$$

$$T^n = S^{-1} \begin{pmatrix} \alpha_1^n & & 0 \\ & \ddots & \\ 0 & & \alpha_m^n \end{pmatrix} S$$

Nach 1) gilt:

- T potenzbeschränkt, d.h.  $\sup_{n \geq 1} \|T^n\| < \infty$
- $(\Leftrightarrow) r(T) \leq 1$  und  $\dim \mathcal{J}_0 = 1$ , sobald  $\underbrace{q \in \mathbb{C}}_{\text{muss vorkommen}}$   $q \in \mathbb{C}$ .
- $T^n \rightarrow P \neq 0$   $(\Leftrightarrow) q = 1$  oder  $|q| < 1$  (wegen) und alle Blöcke zur 1 haben Größe 1.



Allgemeine Operatoren: keine Jordansche Normalform,  
mehr Phänomene.

Bemerkung

Beweis

$T \in \mathcal{L}(X)$

Basach

potenzabschr.  $\Rightarrow r(T) \leq 1$ .

$$r(T) = \lim_{n \rightarrow \infty} \sqrt[n]{\|T^n\|}$$

$$\leq \sqrt[n]{\|T\|^n}$$

$$\leq \lim_{n \rightarrow \infty} \|T\| = 1$$



d.h.,  $T \sim \begin{pmatrix} \boxed{I} & & 0 \\ & \boxed{\phantom{I}} & \\ 0 & & \boxed{0} \end{pmatrix}$

etwas mit  $r(T) < 1$

und  $T^n \rightarrow P \sim \begin{pmatrix} \boxed{I} & & 0 \\ & \boxed{0} & \\ 0 & & \boxed{0} \end{pmatrix}$

Bem. •  $r(T) < 1 \Rightarrow \|T^n\| \leq q^n$  für ein  $q < 1$  und alle großen  $n$   
 $\Rightarrow \|T^n\| \rightarrow 0$  exp. schnell.

•  $r(T) > 1 \Rightarrow \|T^n\| \geq q^n$  für ein  $q > 1$  und alle großen  $n$   
 $\Rightarrow \|T^n\| \rightarrow \infty$  exp. schnell.

Wir werden  $r(T) = 1$  annehmen.

Frage Wenn konv.  $T^n$ ?

Arten der Konvergenz:

Normkonv.:  $\|T^n - P\| \rightarrow 0$   
 $T^n x \rightarrow P x \quad \forall x$   
Starke Operatorkonv.:  $T^n x \rightarrow P x \quad \forall x$   
Schwache Operatorkonv.:  $T^n x \xrightarrow{\text{schwach}} P x$



Bem. Normkonv.  $\stackrel{\textcircled{1}}{\Leftarrow}$  starke Op'konv.  $\stackrel{\textcircled{2}}{\Leftarrow}$  schwache Op'konv.  $\stackrel{\text{A.H.}}{\Leftarrow}$   $\varphi(T^n x) \rightarrow \varphi(Px) \quad \forall x \in X, \varphi \in X'$

Gegensp für  $\textcircled{1}$ :  $T = \leftarrow$  auf  $\ell^2$  oder  $c_0$

- $\bullet \|T^n\| = 1 \not\rightarrow 0$

- $\bullet \|T^n x\| \rightarrow 0$

Gegensp für  $\textcircled{2}$ :  $T = \rightarrow$  auf  $\ell^2$ ,

- $\bullet \|Tx\| = \|x\| - \text{isometrie, also gilt;}$

$T^n x \rightarrow 0 \Leftrightarrow x = 0.$

- $\bullet T^n x \xrightarrow{\text{Schwach}} 0 \quad \forall x$

Prop. 1.2 (Von Neumann)

Sei  $T$  eine Kontraktion auf einem HR  $H$ . Dann gilt:

$$H = \text{Fix } T \oplus \overline{\text{Bild}(I-T)}$$

- Bem.
- 1) Hier ist  $\text{Fix } T = \{x : Tx = x\}$  - ein abg. lin.  $T$ -inv. Unterraum.
  - 2) Der Satz gilt für eine viel größere Klasse von  $T$ -invarianten Operatoren, z. B.  $\forall$  potenzierbare Operatoren auf refl. Räumen.

### Beweis

Beobachtung:

$$Tx = x \Leftrightarrow T^*x = x$$

Bew. der Beob.:

$$\begin{aligned} \langle T^*x, x \rangle &= \langle x, Tx \rangle = \|x\|^2 \\ \langle T^*x, x \rangle &= \langle x, T^*x \rangle = \|x\|^2 \end{aligned}$$

"=" in Cauchy-Schwarz  $\Rightarrow T^*x = c \cdot x$



und  $c=1$  (oder  $x=0$ )

~~z~~-Bed.

1) Zz:  $\text{Fix } T \perp \text{Bild}(I-T)$

Sei  $x \in \text{Fix } T$ ,  $y \in H$ . Dann gilt:

$$\langle x, y - Ty \rangle = \langle x, y \rangle - \langle x, Ty \rangle = 0$$

$\langle Tx, y \rangle = \langle x, y \rangle$   
Beobachtung

2) Sei  $x \perp \text{Bild}(I-T)$ . Zz:  $x \in \text{Fix } T$ .

Wir haben inn.

$$0 = \langle x, x - Tx \rangle = \langle x, x \rangle - \langle x, Tx \rangle,$$

d.h.)  $\langle x, Tx \rangle = \|x\|^2$

kont.

$$Tx = c \cdot x, \text{ und } c=1$$

" = " in Cauchy-Schwarz:

(oder  $x=0$ )

Prop. 1.3

Sei  $X$  Banach,  $T \in \mathcal{L}(X)$ ,  $T^n \rightarrow P$  in Norm,  
stark oder schwach. Dann gelten:

a)  $r(T) \leq 1$ ,  $\rho_r(T) \cap \mathbb{T} \subset \{1\}$



b)  $P$  ist eine Projektion mit

$$\text{Bild } P = \text{Fix } T$$

$$\text{Ker } P = \overline{\text{Bild}(I - T)},$$

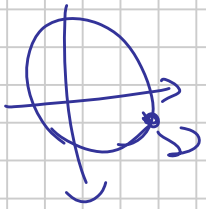
d.h.,  $X = X_1 \oplus X_2$ ,  $T|_{X_1} = I$

$$T^n|_{X_2} \rightarrow 0 \quad (\text{in Norm, stark bzw. schwach})$$

Beweis

a)  $r(T) \leq 1$ , da  $\|T^n\|$  beschr. in  $n$  (Satz von der

gleichm. Beschr.)



Ang.)

$\exists \lambda \neq 1 \in \mathbb{T} \in W$  mit  $EV \lambda$ .

$$T^n x = \lambda^n x$$

$\lambda^n$  **norm. nicht**

- kein Norm. (nicht mal schwache).

b) Annahme  $T$  konst.,  $X$  Hilbert

$$\text{für } x \in \text{Fix } T \Rightarrow T^n x = x \quad \forall n$$

$\Rightarrow Px = x$ , also  $x \in \text{Bild } P$  und  $P=I$  auf  $\text{Fix } T$ .

Sei  $x \in \text{Bild}(I-T)$ , d.h.,  $x = y - Ty$  für ein  $y$ .

Dann:

$$T^n x = T^n y - T^{n+1} y \xrightarrow{P} P y - P y = 0$$

d.h.)  $P_X = 0$  und  $P = 0$  auf Bild(I-T)

Von Neumann:  $P^2 = P +$  Zerlegung.



D.h.) man kann FixT "wegnehmen" und Konvergenz  
gegen 0 untersuchen.

"Stabilität"  
Def 1.4

für  $T \in \mathcal{L}(X)$  Banach.

T heißt

$(\Leftrightarrow r(T) < 1)$

- norm stabil, wenn  $\|T^n\| \rightarrow 0$
- stark stabil, wenn  $\|T^n x\| \rightarrow 0 \quad \forall x$
- schwach stabil, wenn  $T^n x \xrightarrow{\text{schwach}} 0 \quad \forall x$ .

## 2. Starke Stabilität

Bsp  $\leftarrow$  auf  $C_0, \ell^p$  ( $1 \leq p < \infty$ )

Prop. 2.11

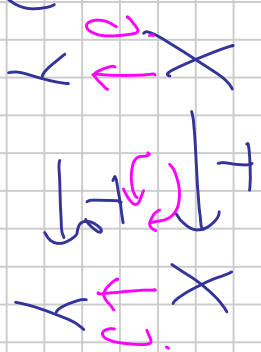
Dann ist  $T$  isometrisch isomorph zu  $T_e \leftarrow$  auf einem

abg. TR von  $C_0(X)$ ,

$\{f(x_n) \in X \text{ mit } \|x_n\| \rightarrow 0\}$   
mit Supnorm.

d.h.,  $\exists Y \subset C_0(X)$  abg. TR,  $j: X \rightarrow Y$  invert. Isometrie  
mit  $j \circ T \circ j^{-1} = T_e$ .

Beweis Nehme  $j: X \rightarrow (X, T_x, T_x^2, \dots) \in C_0(X)$



$\tilde{g}$  ist isom.  $\| \tilde{g}_x \|_{\infty} = \| x \|_1$  (da  $T$  kontr.)

Def:  $Y := \text{Bild } \tilde{g}$ , dann  $\{A, \tilde{g}: X \rightarrow Y \text{ isom. + bij. abg.}\}$  da  $\tilde{g}$  eine Isometrie ist.  
( $\tilde{g}$  Isometrien haben abg. Bild - warum?)  
 $\tilde{g} T \tilde{g}^{-1} = T_{\tilde{g}}$  klar (!). ■

Analog:  $H$  Hilbert,  $T$  kontr. und stark stabil.

Prop. 2.2 Dann  $\exists T$  unitär isom. zu einem linksstetigen  $H$  Hilbert,  $T$  kontr. und stark stabil.  
auf einem (Nultraum von)  $\ell^2(Y)$  Hilbert,  
d.h.  $\exists Y$  Hilbert,  $\exists H_1 \subset \ell^2(Y)$  abg.  $T: R$ ,

$M: H \rightarrow H_1$  unitär mit  $u^T u^{-1} = T e$ .

Beweis  
Teleskopsumme:

$$\sum_{n=0}^N (\|T^n x\|^2 - \|T^{n+1} x\|^2) = \|x\|^2 - \underbrace{\|T^{N+1} x\|^2}_{\xrightarrow{N \rightarrow \infty} 0} = \|x\|^2$$

d.h.)  $\sum_{n=0}^{\infty} (\|T^n x\|^2 - \|T^{n+1} x\|^2) = \|x\|^2$

Def. die Halbnorm

$$\|x\|_y^2 := \|x\|^2 - \|T x\|^2 \quad \forall x \in H.$$

( $\|x\|_y \geq 0$ , da  $T$  kontr.)  $\textcircled{11}$  Halbnorm

$$H_0 := \{x : \|x\|_y = 0\} = \{x : \|x\| = \|T x\|\}$$

$Y := (H/H_0, \|\cdot\|_Y)$   $\sim$  *Vervollständigung*  
- Hilbertraum.

Def.  $j: H \rightarrow \ell^2(Y)$

$$x \mapsto (x_1, T_x, T^2 x, \dots)$$


( $\mathbb{A}$ -Klasse)

$$\begin{aligned} j \text{ ist isom., da } \sum_{n=0}^{\infty} \|T^n x\|_Y^2 &= \sum_{n=0}^{\infty} (\|T^n x\|^2 - \|T^{n+1} x\|^2) \\ &= \|x\|^2 \end{aligned}$$

$H_1 := \text{Bild } j \in \ell^2(Y)$ ,

$f: H \rightarrow H_1$  unitär ( = isomet. Isometrie )

$$j^{-1} = T_0 \text{ *klar.*}$$

**Frage**  $\left. \begin{array}{l} j^{-1} = T_0 \text{ klar.} \\ \text{Gilt es spektrale Bedingungen für starke Stab. ?} \end{array} \right\}$  



Vorbereitung:

Lemma 2.3

Sei  $T \in \mathcal{L}(X)$  eine Kontraktion auf einem

BRX. Dann gelten:

(a)  $\forall x \in X \quad \exists \lim_{n \rightarrow \infty} \|T^n x\|$

(b)  $\forall x: \lim_{n \rightarrow \infty} \|T^n x\| = 0$  ist äq.,  $T$ -inv. lin. TR.  
(AT, nicht nur kontr.)

Beweis

(a) folgt, da  $\|T^n x\| \searrow$ .

(b)  $\forall n$

Konstruktion des isometrischen Limesoperators (üblich, für)

sei  $T$  kontr. auf  $X$ , BR, und äq.

$Y := \forall x: \|T^n x\| \rightarrow 0$

Lemma 2.3 (b):  $Y$  abg.,  $\ell_{n, \cdot}$ ,  $T$ -inv.

Betr.  $(X/Y, \|\cdot\|_T)$ , wobei

$$\|X+Y\|_T := \lim_{n \rightarrow \infty} \|T^n x\|$$

(Znach Lemma 2.3(a))

(Warum wohldef. und norm auf  $X/Y$ ?)

Beobachtung:  $\|X+Y\|_T \leq \|X\|_{AX}$  (da  $T$  kontr.)

Def.  $S$  auf  $X/Y$  durch

$$S(X+Y) := T^{X+Y}$$

(Warum wohldef.?)

Schließlich def.

$$Z := (X/Y, \|\cdot\|_T)$$

~ Vervollständigung.

Lemma 2.4 Die Fortsetzung von  $S$  auf  $Z$  ist eine Isometrie, genannt isometr. Anmeroperator von  $T$ .

Es gilt:  $\sigma(S) \subset \sigma(T)$ .

Beweis

$$\|S(X+Y)\|_Z = \|TX+Y\|_T = \lim_{n \rightarrow \infty} \|T^{-n+1} X\| = \|X+Y\|_T.$$

$\Rightarrow S$  isom. auf  $X/Y \Rightarrow$  zief  $Z$ .

für  $\lambda \in \rho(T)$ . z.z:  $\lambda \in \rho(S)$

Def.  $R(\lambda)$  auf  $(X/Y, \|\cdot\|_T)$  durch

$$R(\lambda)(X+Y) := R(\lambda, T)X + Y \quad A^X.$$

(Warum wohl def.?)  
 Prüfe:  $Y$  ist  $R(\lambda, T)$ -inv.

Es gilt:  $\|R(\lambda)(x+y)\|_+ = \lim_{n \rightarrow \infty} \|T^n R(\lambda T)x\|$

$$\leq \|R(\lambda T)\| \cdot \|x+y\|_+$$

kommut.

d.h.,

$\|R(\lambda)\| \leq \|R(\lambda T)\|$ , also ist  $R(\lambda)$  beschr.

auf  $X/Y \Rightarrow$  auf  $Z$ .

weiterdem hat man:

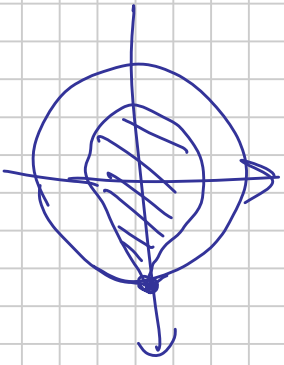
$$(\lambda - S)R(\lambda) = I = R(\lambda)(\lambda - S) \text{ auf } X/Y$$

$\Rightarrow$  auf  $Z$ , d.h.,  $\lambda \in \rho(S)$  und  $R(\lambda, S) = R(\lambda)$ .  $\blacksquare$

Thm. 2.5 (Katoelson-Tzaofiri, 1986)

Seien  $X, BR$ ,  $T \in \mathcal{L}(X)$  kontraktiv mit  $\sigma(T) \cap \mathbb{C} \setminus \{1\} = \emptyset$

Dann gilt:



$$\|T^{n+1} - T^n\| \xrightarrow{n \rightarrow \infty} 0.$$

Beweis Schritt 1 Wir zeigen zuerst:

$$(*) \quad \|T^{n+1}x - T^n x\| \xrightarrow{n \rightarrow \infty} 0 \quad \forall x \in X.$$

für  $S$  der isom. dimensop. zu  $T$ . Nach Lemma 2.4

$$\sigma(S) \cap \Pi \subset \{1\}$$

Da für Isometrien  $\sigma(S) = \{\lambda: |\lambda| \leq 1\}$  oder  $\sigma(S) \subset \mathbb{T}$  gilt (Prop. 2.5 in Kapitel 1), gilt

$$\sigma(S) = \{1\}.$$

Corollar aus dem "I"-Satz von Belfand für

Isometrien:

$$S = T^{-1}$$

D.h.)  $Tx + Y = X + Y \quad (A^x)$

d.h.)  $Tx - x \in Y = \{y \in X : \|T^n y\| \rightarrow 0\}$

Schritt 2 Ze.:  $\lim_{n \rightarrow \infty} \|T^{n+1} - T^n\| = 0$ .

Betr.  $\mathcal{L}(X)$  und einen Multiplikator  $\mathcal{M}(\mathcal{L}(X)) \rightarrow \mathcal{L}(X)$   
def. durch  $UR := T \cdot R, R \in \mathcal{L}(X)$ .

- $\|M\| \leq \|T\| \leq 1$

- Wir zeigen:  $\sigma(M) \subset \sigma(T)$  ( $\Rightarrow \sigma(M) \cap \Pi(1)$ )

Sei  $\lambda \in \rho(T)$ ,  $\exists z: \lambda \in \rho(U)$ .

Def.  $R(\lambda): Z(X) \rightarrow Z(X)$  durch

$$R(\lambda)R := (\lambda - T)^{-1}R, \quad R \in Z(X).$$

$R(\lambda)$  beschw. auf  $R(\lambda)(\lambda - U) = I = (\lambda - U)R(\lambda)$ ,  
d.h.,  $\lambda \in \rho(U)$ .

Nach Schritt 1 gilt:  $\|U^{n+1}R - U^n R\| \rightarrow 0$   $\forall R$

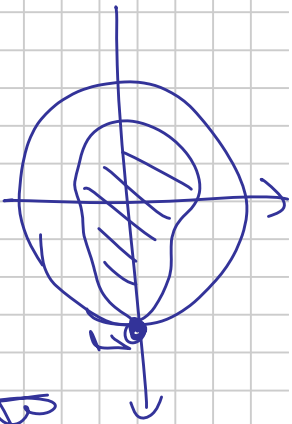
$$\forall \text{imm } R = I.$$

$$\underbrace{T^{n+1}R - T^n R}$$



Als parallel bekommen wir:

Thm 2.6 Seien  $X, B, T \in Z(X)$  eine Kontraktion  
mit  $\sigma(T) \cap \mathbb{I} \subset \rho(T)$ . Dann gilt:



$$\|T^n x\| \xrightarrow{n \rightarrow \infty} 0 \quad \forall x \in \overline{\text{Bild}(I-T)}$$

Beweis Sei  $y \in X$ ,  $x := T y - y$ .  
 Katelson-Teufel (sogar schon (\*)):

$$\|T^n x\| = \|T^{n+1} y - T^n y\| \xrightarrow{n \rightarrow \infty} 0$$

$\Rightarrow$  Aussage für  $x \in \text{Bild}(I-T)$ . Abgeschlossenheit  
 von  $Y$ :  $\forall x \in \overline{\text{Bild}(I-T)}$  ▀

Korollar 2.7 Sei  $H$  Hilbert,  $T$  Kont. auf  $H$   
 mit  $\sigma(T) \cap \mathbb{I} \subset \{1\}$ . Dann gilt:





$$H = \text{Fix } T \oplus \{x: \|T^n x\| \rightarrow 0\}.$$

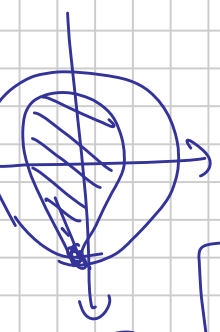
Insbesondere gilt:

$$T \text{ stark stabil} \Leftrightarrow I \notin \rho_\sigma(T)$$

Beweis Von Neumannsche Zerlegung 1.2 + Thm. 2.6. ~~\_\_\_\_\_~~

Korollar 2.8

Sei  $X$  BR,  $T$  konts. auf  $X$  mit



$\sigma(T) \cap \mathbb{T} \subset \{1\}$  mit  $I \notin \rho_\sigma(T^{-1})$ . Dann ist  $T$  stark stabil.

Beweis Wir zeigen: Bild  $(I-T) = X$ , (Dann: Thm. 2.6)  
Wir wissen aus Kapitel 1:

$$\text{Ker}(I-T) = \{ \varphi \in X^1 : \varphi / \overline{\text{Bild}(I-T)} = 0 \}$$

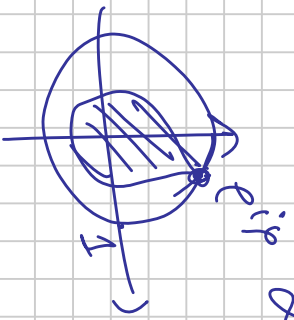
$$\ker P_\sigma(\pi^{-1}) : (\varphi / \overline{\text{Bild}(I-T)} = 0 \Rightarrow \varphi = 0) \quad \text{A} \varphi$$

Vahm-Bornach:  $\overline{\text{Bild}(I-T)} = X$ , ▣

Bem. 1)  $\exists$  Spektralbedingung für schwache Stabilität)

2) Durch Rotation mit  $e^{it}$  (d.h.  $T \mapsto e^{it}T$ ) kann man auch den Fall  $\sigma(T) \cap \mathbb{T} \subset \{e^{it_0}\}$  behandeln:

T stark stabil  $(\Leftrightarrow) e^{it} \in P_\sigma(T^{-1})$

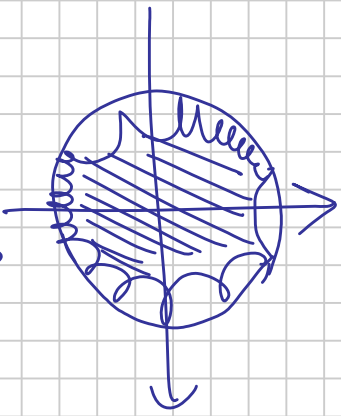


Thm. 2.9 (Arendt - Batty - Lyubich - Vä, 1988)

Sei  $X$  Banach,  $T \in \mathcal{L}(X)$  Kontraktion. Dann gilt:

$$\rho_\sigma(T^{-1}) \cap \mathbb{I} = \emptyset \quad \Rightarrow \quad T \text{ stark stabil}$$

$\sigma(T) \cap \mathbb{I}$  höchstens  
abzählbar



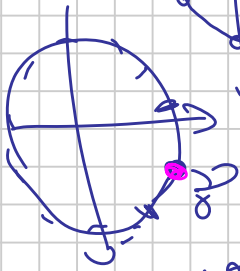
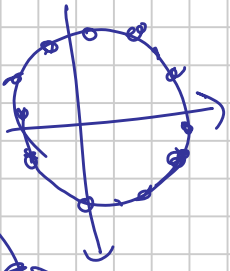
Beweis (Lyubich - Vä)

Ang.,  $T$  ist nicht stark stabil. Dann ist

$$Z = (X/Y, \|\cdot\|_+) \sim \neq \{0\}.$$

Betrachte den Isomet. Limesoperator  $S$  auf  $Z$ .

Nach Lemma 2.4 gilt:  $\sigma(S) \cap \mathbb{I}$  ist höchstens abg.  
 inh.  $\neq \mathbb{I}$ .  $\varphi_{\text{inh.}}$  ist  $S$  innerst. mit  $\sigma(S) \subset \mathbb{I}$  höchstens  
 abg.



Behauptung:  $\exists$  isoliert. Punkt  $a_0 \in \sigma(S)$

Beweis Satz von Baire:

$\sigma(S) = \bigcup_{n=1}^{\infty} X_n$ ,  $\forall X_n$  abg.  $\xrightarrow{\text{Baire}}$   $\exists n: X_n$  hat

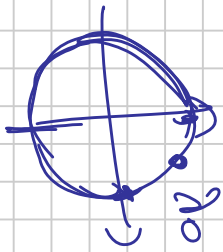
einen inneren Punkt, d.h.  $\text{da } \sigma(S) \text{ vollst. metr. Raum}$

$\{X_n\}$  offen  $\Rightarrow \sigma(S) \setminus \{X_n\}$  abg., also muss

$\{X_n\}$  isoliert sein (pos. Abstand zu  $\sigma(S) \setminus \{X_n\}$ )

Wir zeigen:  $a_0 \in P_{\sigma(S)}$

$\square$  Behaupt.



Betr. die Spektralprojektion  $P_{\lambda_0}$  von  $S$  bzgl.  $\lambda_0$   
 und  $S_0 := S|_{\text{Bild } P_{\lambda_0}}$ .

Erinnere:  $X = X_1 \oplus X_2$ ,  $X_2 = \text{Bild } P_{\lambda_0}$ ,

$$\sigma(S|_{X_2}) = \{\lambda_0\}, \text{ d.h.}, \sigma(\overline{\lambda_0} \cdot S|_{X_2}) = \{1\}$$

Satz von Gel'fand:  $\overline{\lambda_0} \cdot S|_{X_2} = I$ , d.h.,  $S|_{X_2} = \overline{\lambda_0} \cdot I$   
*isometrie*

und damit  $\lambda_0 \in P_{\sigma}(S)$ .